

## تحلیل دو بعدی انتقال حرارت مزدوج پایا و آرام در یک محفظه مربعی شکل حاوی بلوك متخلخل\*

(یادداشت پژوهشی)

صادق تفکر<sup>(۱)</sup> هادی گریانی<sup>(۲)</sup> محسن نظری<sup>(۳)</sup>

**چکیده** در این مقاله به بررسی انتقال حرارت جابه‌جایی آزاد مزدوج در داخل یک محفظه بسته حاوی بلوك متخلخل با چیامان دلخواه موضع مربعی با ضریب همایت حرارتی مشخص پرداخته می‌شود. انتقال حرارت جابه‌جایی آزاد در محفظه با تغییرات عدد رایلی، تعداد موضع مربعی، تغییر چیامان موضع و همچنین نسبت تخلخل بلوك متخلخل مورد مطالعه قرار می‌گیرد و پارامترهای مؤثر بر انتقال حرارت بررسی می‌شوند. عدد ناسلت به عنوان معیار انتقال حرارت نیز روی دیوارهای محفظه به دست آمده و اعتبارسنجی مناسب ارائه شده است. در این مقاله چگونگی بهبود انتقال حرارت جابه‌جایی آزاد در یک محفظه حاوی بلوك‌های رسانا تحت اثر تغییرات عدد رایلی، نسبت تخلخل، ابعاد و تعداد بلوك‌ها بررسی شده است. نتایج نشان می‌دهد که تغییر تعداد موضع داخل بلوك متخلخل، نسبت تخلخل و همچنین چیامان آنها در داخل بلوك متخلخل اثر کمتری در مقایسه با تغییرات عدد رایلی در محفظه متخلخل دارد. با این وجود، بافزایش تعداد موضع هادی در داخل محفظه بسته، عدد ناسلت کاهش یافته است.

**واژه‌های کلیدی** نسبت تخلخل، انتقال حرارت مزدوج، محفظه متخلخل.

## Two Dimensional Analysis of Steady, Laminar Conjugate Heat Transfer in Squared Cavity Containing Porous Blocks

M. Nazari

H Gerivani

S. Tafakkor

**Abstract** In this paper, free convection heat transfer is completely analyzed in a closed cavity containing internal conducting blocks with arbitrary arrangement. Free convection heat transfer in the cavity is studied according to the variations of Rayleigh number, number of conducting blocks, arrangements of blocks and the porosity. The overall Nusselt number as a criterion of heat transfer is reported on the walls of the cavity. The obtained results show that the thermal effects of porosity and the arrangements of blocks in the cavity are less than the effects of Rayleigh number. However, increasing the number of blocks inside the cavity leads to a decrease in the overall Nusselt number.

**Key Words** Porosity, Conjugate heat transfer, Porous cavity

---

\*تاریخ دریافت مقاله ۹۴/۸/۱۴ و تاریخ پذیرش آن ۹۴/۱۱/۲۴ می‌باشد.

(۱) نویسنده مسئول: دانشیار دانشکده مهندسی مکانیک، دانشگاه صنعتی شهرورد. mnazari@shahroodut.ac.ir

(۲) دانشجوی دکتری مهندسی مکانیک، دانشگاه صنعتی شهرورد.

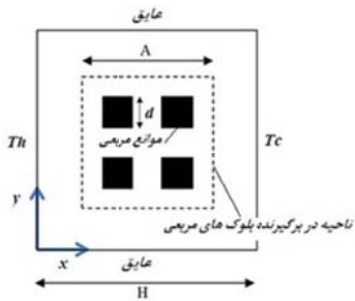
(۳) کارشناس ارشد مهندسی مکانیک، دانشگاه علم و صنعت.

## مقدمه

دارسی برای تحلیل جریان استفاده شده است. در مقاله هوس و همکاران [11] در مورد توزیع تعدادی ماده جامد مربعی شکل در مرکز یک محفظه بسته همراه با جریان آرام ناشی از نیروهای حجمی بحث شده است. هندسه مورد بحث این مقاله محفظه‌ای شامل یک مانع در مرکز آن است. در مقاله میریخ و محمد [12] به بررسی محفظه‌ای با چند مانع جامد که در آنها تولید انرژی صورت می‌گیرد پرداخته شده است. راجی و همکاران [13] در مقاله خود انتقال حرارت جابه‌جایی آزاد در یک محفظه مربعی با دیواره‌های عمودی گرم و سرد و دیواره‌های افقی آدیباتیک را بررسی کرده اند که حاوی یکسری بلوک در داخل خود است. با تغییر عواملی چون عدد رایلی، ضریب رسانش حرارتی بلوک‌ها و تعداد آنها به این نتیجه رسیده اند که انتقال حرارت با افزایش تعداد بلوک‌ها و ضریب رسانش حرارتی آنها کاهش می‌باشد. شیخ‌زاده و همکاران [14] به صورت عددی در یک محفظه مربعی حاوی هوا و یک بلوک مربعی داغ، عدد ناسلت ناشی از جابه‌جایی آزاد، را با درنظر گرفتن اثرات عدد رایلی و نسبت شناوری بررسی نموده است.

در مقاله حاضر انتقال حرارت جابه‌جایی آزاد در یک محفظه بسته حاوی هوا بررسی شده است. در داخل این محفظه مربعی شکل تعدادی مانع با رسانایی حرارتی وجود دارد. هدف از این مقاله یافتن روش‌های ممکن برای بهبود انتقال حرارت جابه‌جایی آزاد در این محفظه با استفاده از تغییر پارامترهای مهم در انتقال حرارت آن است. از جمله این پارامترها، تعداد، اندازه و نحوه چینش منظم بلوک‌ها، نسبت تخلخل و عدد رایلی می‌باشد. ابتدا به بیان جزئیات هندسه و فیزیک مسئله پرداخته خواهد شد. پس از آن، به بیان روش حل عددی پرداخته می‌شود. سپس نتایج به دست آمده برای یک محفظه خالی با نتایج موجود معتبرسازی شده و مسئله با وجود موافع مختلف مدل‌سازی و تحلیل

امروزه بررسی و تحلیل عددی و آزمایشگاهی انتقال حرارت جابه‌جایی آزاد در پدیده‌های روزمره و صنعت از اهمیت زیادی برخوردار است. دانشمندان زیادی نیز از گذشته تا حال به این موضوع توجه نموده‌اند. برای مثال می‌توان به مطالعات رفای و ویوانویچ [1] بررسی اثر منابع حرارتی بر نرخ انتقال حرارت در پدیده جابه‌جایی آزاد در یک محفظه که با هوا پر شده است اشاره کرد. در زمینه مخازن خنک‌کننده آب و پدیده‌های انتقال حرارت جابه‌جایی آزاد در آن نیز می‌توان به تحقیقات آزمایشگاهی نلسون و همکاران [2] اشاره نمود. کاربردهای مهندسی انتقال حرارت جابه‌جایی آزاد نیز بسیار حائز اهمیت است که از جمله آنها می‌توان به کلکتورهای خورشیدی، طراحی تجهیزات خنک‌کننده، انتقال حرارت در پنجره‌های دوجداره و بهینه‌سازی مسائل مهندسی اشاره کرد. مطالعات درمورد جابه‌جایی طبیعی در محفظه بسته حاوی ماده متخلف دارای کاربردهای مهمی در حوزه مهندسی است که از آن جمله می‌توان به طراحی مبدل‌های حرارتی، بررسی آلاینده‌های زیرزمینی، ذخایر غلات، سیستم‌های زمین گرمایی، استخراج نفت، ذخایر پسماندهای هسته‌ای، طراحی بهینه مشعل‌ها و رشد کریستال‌ها در مایع اشاره کرد. از اوایل قرن بیستم، مطالعه و بررسی درمورد جابه‌جایی آزاد مورد توجه محققان قرار گرفت. هم‌چنانی از اوایل دهه هفتاد، تحقیقات تجربی و نظری زیادی در اینباره انجام گرفته است. نتایج حاصل از این تحقیقات در مقاله داویس [3] درمورد جریان سیال آرام در محفظه مربعی ارائه شده است. نتایج مهمی که در مراجع [4-9] ارائه شده است در ارتباط با مسائل جابه‌جایی آزاد در محفظه مستطیلی متخلف می‌باشند. در مقاله بایتس و پاپ [10] باروش عددی به مطالعه جریان پایای جابه‌جایی آزاد در محفظه مستطیلی متخلف همگن پرداخته شده است و از معادله تکانه



شکل ۱ نمایش محفظه دارای موانع مربعی

## معادلات حاکم

در این بخش معادلات حاکم بر انتقال حرارت در محفظه بسته و با وجود جابه‌جایی طبیعی بیان خواهد شد. بنا به رابطه (۱) و همان‌گونه که در شکل نشان داده شده است، دیوارهای بالا و پایین عایق در نظر گرفته شده‌اند.

$$\left. \frac{\partial T}{\partial y} \right|_{wall, up \& down} = 0 \quad (1)$$

دماهی دیوارهای چپ و راست نیز ثابت می‌باشند. عدد پراتل  $\approx 71$  است و جریان سیال در حالت دوبعدی، آرام و پایا فرض شده است. معادله پیوستگی در دو بعد به صورت معادله (۲) است.

$$\frac{\partial u}{\partial x} + \frac{\partial v}{\partial y} = 0 \quad (2)$$

در این رابطه،  $u$  و  $v$  سرعت‌های سیال در راستای  $x$  و  $y$  هستند. معادلات تکانه نیز به صورت (۳) و (۴) بیان می‌شوند.

$$u \frac{\partial u}{\partial x} + v \frac{\partial v}{\partial y} = -\frac{1}{\rho} \frac{\partial p}{\partial x} + v \left( \frac{\partial^2 u}{\partial x^2} + \frac{\partial^2 u}{\partial y^2} \right) \quad (3)$$

$$u \frac{\partial v}{\partial x} + v \frac{\partial v}{\partial y} = -\frac{1}{\rho} \frac{\partial p}{\partial y} + v \left( \frac{\partial^2 v}{\partial x^2} + \frac{\partial^2 v}{\partial y^2} \right) + g \beta \Delta T \quad (4)$$

خواهد شد. در پایان، یه یک نتیجه‌گیری کلی در مورد مسئله حاضر خواهیم رسید.

## بیان جزئیات هندسه و روش

محفظه مورد بررسی در این مقاله، مربعی به ضلع  $H$  است. اگر یک مربع کوچک‌تر فرضی در داخل این محفظه به ضلع  $A$  درنظر بگیریم، تمامی موانع که دارای رسانایی حرارت هستند در داخل این مربع فرضی قرار دارند و مرکز مربع فرضی در مرکز محفظه قرار می‌گیرد. از این پس منظور از «نسبت طول»  $L/A/H$  است. مطابق شکل (۱) چیش موانع در داخل مربع کوچک‌تر به صورت پریودیک و مشابه یک ماتریس مربعی می‌باشد. موانع داخل محفظه نیز مربعی و همگی دارای اندازه یکسان می‌باشند. اندازه ضلع موانع را  $d$  درنظر می‌گیریم. طول  $H$  برابر با واحد درنظر گرفته شده است. نسبت تخلخل نیز برحسب تعداد موانع داخل محفظه، اندازه ضلع آنها و پارامتر  $A$  تعیین می‌شود. نسبت تخلخل با  $\epsilon$  نشان داده می‌شود که  $\epsilon = (d/A)^2$  است. در شکل (۱) مسئله موردمطالعه نشان داده شده است که  $T_h$  دمای دیوار گرم و  $T_c$  دمای دیوار سرد می‌باشد.  $x$  مؤلفه افقی و  $y$  مؤلفه عمودی طول است. ویژگی‌های موردنبررسی در این محفوظه عدد رایلی، نسبت تخلخل، نسبت طول و تعداد موانع هستند. انتقال حرارت ضمن تغییرات این پارامترها بررسی خواهد شد. نسبت تخلخل در داخل محفوظه در محدوده  $0/51$ ،  $0/75$  و  $0/84$  بررسی می‌شود. نسبت طول از  $0/5$  تا  $0/9$  تغییر می‌کند و تعداد موانع ۴ و ۹ عدد هستند. برای عدد رایلی نیز اعداد  $10^4$ ،  $10^5$  و  $10^6$  درنظر گرفته می‌شوند. رسانایی حرارتی موانع نیز  $10$  برابر رسانایی حرارتی سیال درنظر گرفته شده است.

معادله پیوستگی، معادله تصحیح فشار بالاستفاده از الگوریتم سیمپل استخراج می‌شود و تمامی معادلات در حالت پایا و دو بعدی بررسی می‌شوند. برای مدل‌سازی جابه‌جایی طبیعی از فرض بوزینسک استفاده می‌شود. در گسسته‌سازی معادلات از طرح آپ ویند (Upwind) مرتبه‌دوم به عنوان یک روش مرتبه‌بالا استفاده شده است. روش حل حجم محدود نیاز به شبکه‌بندی ناحیه محاسباتی دارد. این شبکه هرچه دقیق‌تر تولید شود، نتایج بهتر و دقیق‌تری حاصل می‌شود. البته بنا به اهمیت و میزان دقتی که لازم است باشد شبکه را ریز نمود چراکه هرچه دقت بیشتر شود زمان موردنیاز برای حل و هم‌گرایی افزایش می‌یابد. می‌توان عدد ناسلت را در هر نقطه از دیوار گرم بالاستفاده‌از گره مجاور آن و هم‌چنین استفاده از معادله (۱۰) به دست آورد. به منظور افزایش دقت، به کار بردن پنج نقطه (سلول) در مجاورت دیوار مناسب‌تر است. روش به کار برده شده برای حل معادلات حاکم، روش عددی حجم محدود است. برای اعتبارسنجی حل عددی، معادلات حاکم بر مسئله در یک محفظه خالی از مانع حل شده است. دیکسیت و بابو [15] در مقاله خود انتقال حرارت جابه‌جایی آزاد را در یک محفظه خالی بررسی نموده و ناسلت به دست آمده برای دیوار گرم را گزارش کرده‌اند. با به دست آوردن عدد ناسلت در دیوار گرم این محفظه و مقایسه آن با نتایج به دست آمده از روش دیکسیت و بابو می‌توان از درستی روش آگاه شد. اعداد به دست آمده از روش عددی در این مقاله به همراه اعداد به دست آمده از بررسی‌های دیکسیت و بابو و درصد تفاوت آنها در جدول (۱) گزارش شده است. عدد ناسلت بر روی دیوار گرم (دیوار سمت چپ) در چهار رایلی  $10^3$ ،  $10^4$ ،  $10^5$  و  $10^6$  به دست آمده و مقایسه شده‌اند. طبق داده‌های نمایش داده شده در این جدول، بیشترین درصد خطای مربوط به رایلی  $10^6$  می‌باشد که  $3/88$  درصد است و نشان دهنده درستی روش و تطابق خوب آن با

که  $p$  چگالی و  $p$  فشار سیال است. معادله انرژی در فاز سیال نیز به صورت (۵) خواهد بود.

$$u \frac{\partial T}{\partial x} + v \frac{\partial T}{\partial y} = \alpha \nabla^2 T \quad (5)$$

معادلات انرژی در فاز جامد محفظه نیز به صورت زیر خواهد بود.

$$\frac{\partial^2 T}{\partial x^2} + \frac{\partial^2 T}{\partial y^2} = 0 \quad (6)$$

در محفظه مورد بحث تولید حرارت حجمی وجود ندارد و انتقال حرارت به صورت پایا است. اعداد و پارامترهای بدون بعد به صورت زیر تعریف می‌شوند:

$$\theta = (T - T_c) / (T_h - T_c) \quad x^* = x / H \\ a = g \beta H^3 \Delta T / \nu \alpha, \quad \text{Pr} = \nu / \alpha \quad Nu = \left. \frac{\partial \theta}{\partial x^*} \right|_{wall} \quad (7)$$

که در این روابط،  $Ra$  عدد رایلی،  $g$  شتاب جاذبه زمین،  $\beta$  ضریب انبساط حجمی،  $v$  لزجت سینماتیک سیال و  $\alpha$  ضریب نفوذ گرمایی سیال است.  $T$  نشان‌دهنده دماست. اختلاف دما در معادلات با  $\Delta T$  نمایش داده شده است و  $T_h$  دمای دیوار گرم و  $T_c$  دمای دیوار سرد می‌باشد.  $\theta$  دمای بی‌بعد هر نقطه از محفظه را نشان می‌دهد. نماد مؤلفه افقی طول  $x$  است که حالت بی‌بعد آن به صورت  $x^*$  می‌باشد. درنهایت عدد ناسلت محلی را با  $Nu$  نشان می‌دهیم.

## حل عددی

نتایج به دست آمده در این مقاله برای انتقال حرارت جابه‌جایی آزاد در محفظه حاوی سیال هوا به عنوان سیال عامل، حاصل از حل عددی است که بالاستفاده‌از روش حجم محدود به دست آمده است. بالاستفاده‌از

جدول ۲ اعداد ناسلت روی دیوار گرم در نسبت تخلخل ۰/۵۱

رایلی				
			تعداد مانع	نسبت طول
۱۰ <sup>۶</sup>	۱۰ <sup>۵</sup>	۱۰ <sup>۴</sup>	۴	۰/۵
۸/۸۱۸۳	۴/۴۹۰۷	۱/۹۲۳۸		
۸/۸۳۰۰	۴/۴۸۸۱	۱/۸۸۱۸	۹	۰/۶
۸/۷۷۹۹	۴/۳۹۷۰	۱/۷۷۲۸	۴	
۸/۷۷۹۰	۴/۳۵۴۹	۱/۷۱۴۳	۹	۰/۷
۸/۷۳۸۰	۴/۱۴۱۰	۱/۷۰۳۶	۴	
۸/۷۴۸۴	۳/۹۹۳۲	۱/۶۵۳۷	۹	۰/۸
۸/۶۱۶۱	۳/۵۶۵۸	۱/۷۸۸۹	۴	
۸/۵۲۷۳	۳/۲۰۲۶	۱/۷۶۱۶	۹	۰/۹
۸/۰۵۴۳	۲/۷۷۴۰	۲/۰۲۷۴	۴	
۷/۳۹۸۱	۲/۴۱۳۰	۲/۰۱۶۷	۹	

جدول ۳ اعداد ناسلت روی دیوار گرم در نسبت تخلخل ۰/۷۵

رایلی				
			تعداد مانع	نسبت طول
۱۰ <sup>۶</sup>	۱۰ <sup>۵</sup>	۱۰ <sup>۴</sup>	۴	۰/۵
۸/۹۰۰۹	۴/۵۴۶۴	۲/۰۴۵۳		
۸/۹۰۵۹	۴/۵۴۸۱	۱/۹۷۷۵	۹	۰/۶
۸/۸۷۵۴	۴/۵۱۹۴	۱/۸۹۹۶	۴	
۸/۸۹۰۸	۴/۴۹۸۳	۱/۷۸۵۷	۹	۰/۷
۸/۸۶۱۵	۴/۴۴۴۹	۱/۷۳۲۳	۴	
۸/۸۷۸۷	۴/۳۴۲۵	۱/۵۸۹۰	۹	۰/۸
۸/۸۴۲۴	۴/۲۵۱۳	۱/۵۹۵۲	۴	
۸/۸۲۷۳	۳/۹۳۸۳	۱/۴۷۳۷	۹	۰/۹
۸/۷۷۶۴	۳/۸۱۹۲	۱/۵۴۶۲	۴	
۸/۵۸۶۷	۳/۱۶۶۳	۱/۴۷۹۴	۹	

بررسی تغییرات نسبت تخلخل. در این قسمت، تغییرات نسبت تخلخل در رایلی  $10^6$ ، تعداد مانع ۴ و نسبت طول ۰/۸ بررسی می شود. با افزایش نسبت تخلخل، عدد ناسلت روی دیوار محفظه افزایش می یابد که نشان از افزایش انتقال حرارت در محفظه است. با افزایش نسبت تخلخل، موانع کوچکتر می شوند. در

تحقیقات قبلی است. کلیه نتایج به دست آمده در این مقاله در شبکه بنده مربعی با اندازه المان  $10^6$  بی بعد، است. این اندازه شبکه هم از نظر دقیق و هم از نظر هزینه حل مناسب است. عدد ناسلت برای یک محفظه حاوی چهار بلوك منظم با نسبت طول ۰/۵ در اندازه المان  $10^6$  و  $0/005$  محاسبه شد و عدد ناسلت در حالت  $0/01$  تا  $0/005$  تنها  $1/4$  درصد خطای دارد. لذا اندازه المان  $10^6$  در کل مقاله پیاده سازی شد. از جمله خطاهایی که در این حل ممکن است پیش آید تولید شبکه ضعیف به خاطر نزدیکی بلوكها به همديگر در بعضی حالات می باشد. برای اين منظور باید شبکه های مختلفی بررسی شود تا منظم ترین آنها پیدا شود.

### نتایج به دست آمده از حل عددی

در این بخش به بیان کلیه نتایج و اعداد به دست آمده از حل عددی، کانتورهای دمای بی بعد و خطوط جریان و هم چنین تحلیل این اعداد پرداخته می شود. تمامی نتایج به دست آمده در این تحقیق به صورت کمی و در یک نگاه در جدول های (۲، ۳ و ۴) در سه عدد رایلی، سه نسبت تخلخل، پنج نسبت طول و در تعداد مانع ۴ و ۹ آورده شده است.

جدول ۱ مقایسه عدد ناسلت در کار حاضر و دیکسیت

و بابو [15]

عدد ناسلت			
دیکسیت و بابو [15]	در این مقاله	تفاوت %	عدد رایلی
۱/۱۳۰	۱/۱۲۱	۰/۸۴	۱۰ <sup>۶</sup>
۲/۲۶۷	۲/۲۸۶	۰/۸	۱۰ <sup>۴</sup>
۴/۵۷۸۱	۴/۵۴۶۳	۰/۷	۱۰ <sup>۵</sup>
۸/۹۸۸	۸/۶۵۲	۳/۸۸	۱۰ <sup>۳</sup>

تخلخل  $0/84$  به علت کوچکتر بودن مانع (در مقایسه با حالت نسبت تخلخل  $0/51$ )، مقاومت در برابر حرکت کمتر است لذا عدد ناسلت نیز افزایش یافته است.

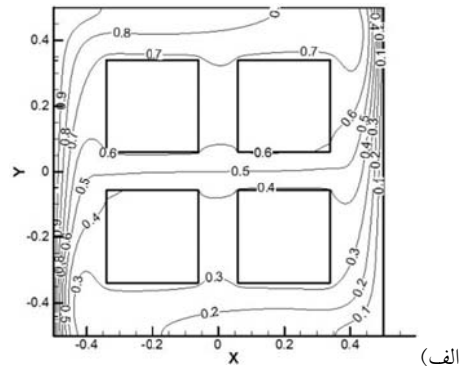
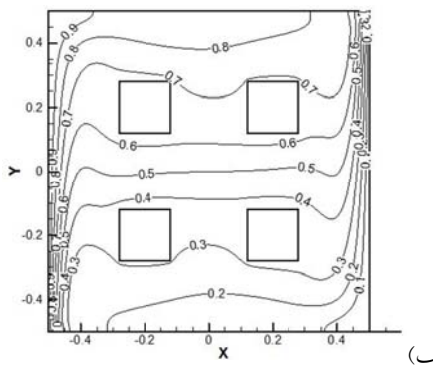
باتوجه به شکل (۳) مشاهده می‌شود که به علت بزرگی مانع در نسبت تخلخل  $0/51$  نسبت به  $0/84$  و نزدیک بودن مانع به یکدیگر و هم‌چنین به دیوار، خطوط جریان به داخل مانع نفوذ قابل توجهی نکرده و چرخش سیال در اطراف آنها اتفاق افتاده است. می‌توان به راحتی مشاهده کرد که خطوط جریان به علت فاصله بیشتر مانع از هم در حالت نسبت تخلخل  $0/84$ ، به داخل مانع نفوذ کرده است که نقش مهمی را در انتقال حرارت به عهده دارد. در شکل (۴) اثر تغییرات نسبت تخلخل بر عدد ناسلت در سه عدد رایلی مختلف و تعداد مانع مختلف نشان داده شده است. از بررسی این نمودارها به این نتیجه می‌رسیم که تغییرات عدد ناسلت بر حسب نسبت تخلخل برای نسبت طول  $0/5$  چه در تعداد ۴ و چه در ۹ مانع بسیار اندک است و نمودار تغییرات تقریباً یک خط افقی است. حال آنکه برای نسبت طول  $0/8$ ، در عدد رایلی  $10^5$  روند صعودی و در عدد رایلی  $10^4$  روند نزولی عدد ناسلت بر روی دیوار گرم مشاهده می‌شود.

این حالت، جریان سیال میان دو دیوار سرد و گرم راحت‌تر برقرار می‌شود و انتقال حرارت جابه‌جایی آزاد نیز افزایش می‌یابد.

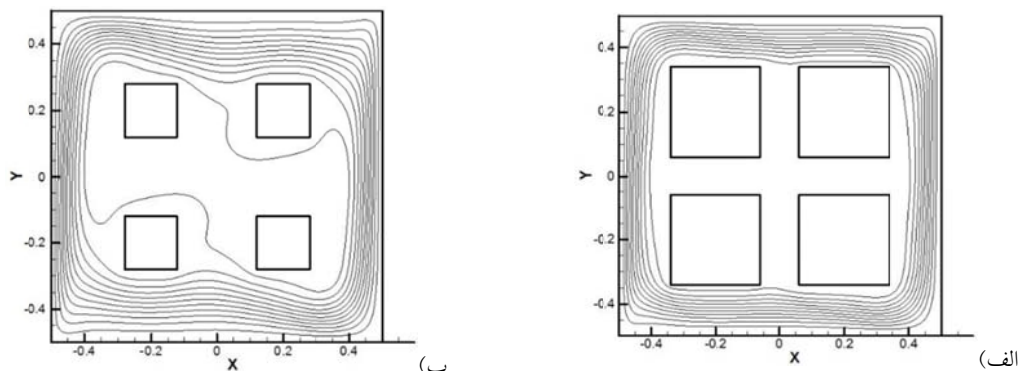
جدول ۴ اعداد ناسلت روی دیوار گرم در نسبت تخلخل  $0/84$ 

رایلی	تعداد مانع	نسبت طول
$10^6$	$10^5$	$0/5$
۸/۹۳۱۷	۴/۵۶۲۸	
$10^4$	$10^3$	$0/6$
۸/۹۳۴۳	۴/۵۶۷۸	
$10^3$	$10^2$	$0/7$
۸/۹۱۲۹	۴/۵۵۲۸	
$10^2$	$10^1$	$0/8$
۸/۹۲۵۵	۴/۵۴۱۳	
$10^1$	$10^0$	$0/9$
۸/۹۰۳۷	۴/۵۱۹۵	
$10^0$	$10^{-1}$	
۸/۹۲۳۶	۴/۴۵۰۱	
$10^{-1}$	$10^{-2}$	
۸/۹۰۱۲	۴/۴۲۸۶	
$10^{-2}$	$10^{-3}$	
۸/۹۰۰۹	۴/۲۰۴۹	
$10^{-3}$	$10^{-4}$	
۸/۸۸۴۷	۴/۲۱۲۱	
$10^{-4}$	$10^{-5}$	
۸/۸۷۶۶	۳/۶۸۶۹	
$10^{-5}$	$10^{-6}$	

همان‌طور که در شکل (۲) دیده می‌شود، در نسبت تخلخل  $0/51$  مانع به اندازه‌ای بزرگ هستند که در برابر حرکت سیال از سمت دیوار گرم به سمت دیوار سرد مقاومت ایجاد می‌کند و همین تغییر در حرکت سیال، مانع افزایش نرخ انتقال حرارت می‌شود. در نسبت

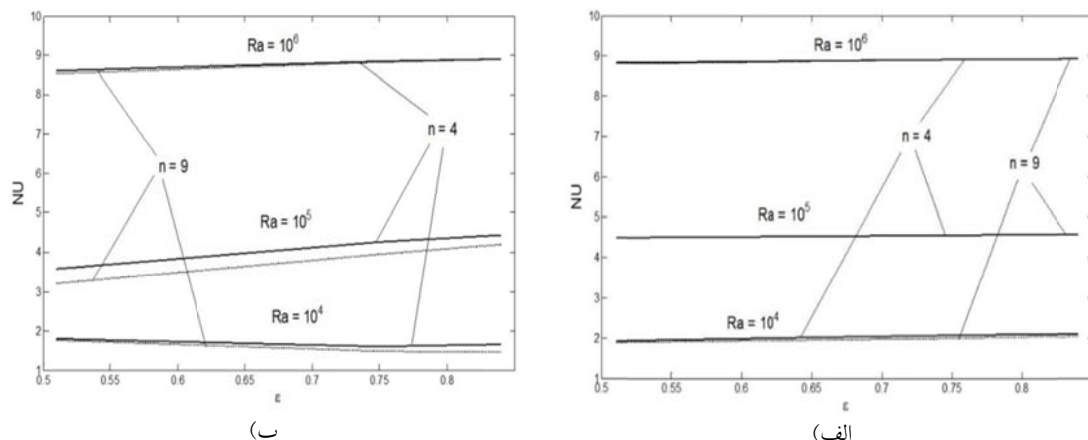


شکل ۲ نمای خطوط دمای بی بعد ثابت محفظه با چهار مانع، رایلی  $10^6$ ، نسبت طول  $0/8$ ، (الف) در نسبت تخلخل  $0/51$  و (ب) در نسبت تخلخل  $0/84$



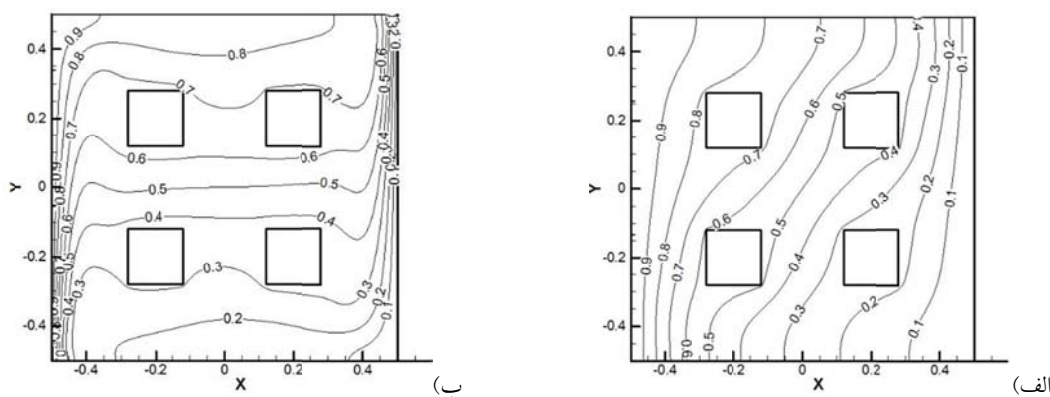
شکل ۳ نمای خطوط جریان محفظه با چهار مانع، رایلی  $10^6$ ، نسبت طول  $0.08$

(الف) در نسبت تخلخل  $0.051$  و (ب) در نسبت تخلخل  $0.08$



شکل ۴ نمودار تغییرات عدد ناسلت بر حسب نسبت تخلخل و در اعداد رایلی مختلف برای  $4$  و  $9$  مانع

در سه عدد رایلی و (الف) نسبت طول  $0.05$ ، (ب) نسبت طول  $0.08$



شکل ۵ نمای خطوط دمای بی بعد ثابت محفظه با چهار مانع، نسبت تخلخل  $0.08$ ، نسبت طول  $0.08$

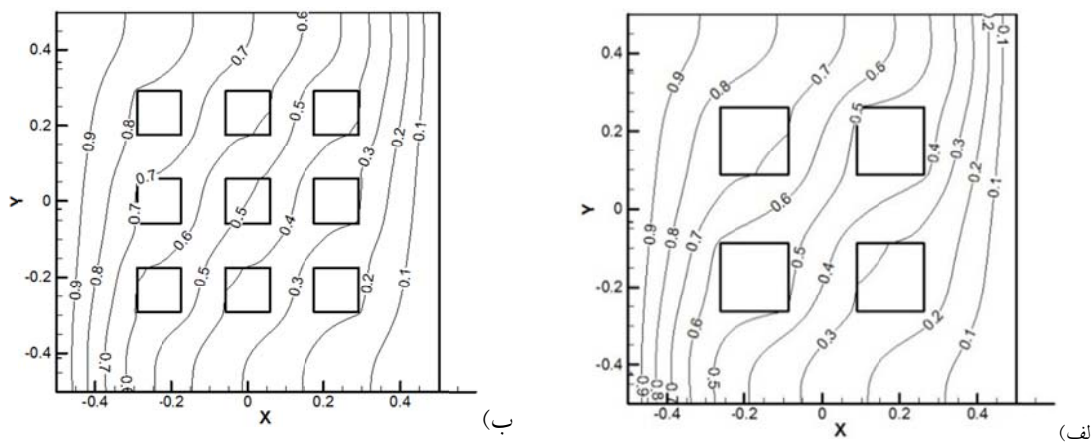
(الف) عدد رایلی  $10^6$  و (ب) عدد رایلی  $10^4$

می‌دهد لذا بالافزایش عوامل تقویت‌کننده رسانش، نرخ انتقال حرارت در محفظه افزایش می‌یابد. نکته جالب اینجاست که در یک نسبت تخلخل ثابت، جمع کل مساحت بلوک‌های جامد نیز ثابت می‌ماند لذا تغییر مساحت بلوک‌های جامد نمی‌تواند دلیل رفتار کنونی محفظه باشد. ولی با کمی دقت این نکته آشکار می‌شود که در حالت ۹ مانع، جداافتادگی میان موانع (قسمت‌های جامد و عامل مهم رسانش) بیشتر شده است. لذا همین عامل موجب اختلال در امر رسانش در محفظه می‌باشد به علاوه، پخش شدن موانع جلوی پخش منظم خطوط جریان را می‌گیرد که اثر مستقیم بر جابه‌جایی آزاد در محفظه خواهد داشت. شکل‌های ۶ و ۷ به ترتیب خطوط دماتابت و خطوط جریان را در محفظه متخلخل حاوی ۴ و ۹ بلوک در نسبت تخلخل ۰/۷۵ و نسبت طول ۷/۰ نشان می‌دهد.

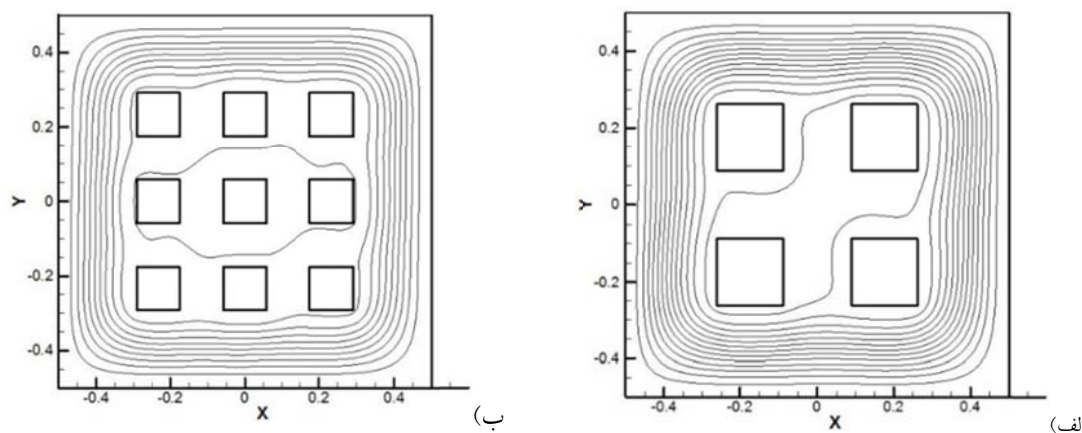
بررسی تغییرات نسبت طول. در بررسی اثر تغییرات نسبت طول بر عدد ناسلت، رایلی  $10^7$ ، نسبت تخلخل  $0/84$  و تعداد موانع ۴ درنظر گرفته شده است. نسبت طول از  $0/5$  تا  $0/9$  تغییر می‌کند. نتیجه بدست آمده از تحلیل اعداد ناسلت این است که عدد ناسلت در طی افزایش نسبت طول کاهش می‌یابد. آنچه از شکل (۸) مربوط به خطوط دماتابت برای تغییرات نسبت طول به دست می‌آید این است که بالافزایش نسبت طول ابعاد موانع بزرگ‌تر می‌شوند و فضای خالی برای جریان سیال کمتر می‌شود. به علاوه موانع از هم دور و به دیوارها نزدیک‌تر می‌شوند و از آنجا که شروع جابه‌جایی آزاد از کنار دیوار است و به سمت داخل کشیده می‌شود، در همان ابتدای راه با موانع بزرگ مواجه می‌شود و انتقال حرارت جابه‌جایی آزاد کمتر می‌شود. درازای رایلی  $10^4$  این کاهش، از نسبت طول  $0/5$  تا  $0/9$  به ۹ درصد نیز می‌رسد.

بررسی تغییرات عدد رایلی. برای بررسی اثر تغییر عدد رایلی بر عدد ناسلت نیز مانند حالت قبل سایر پارامترها باید ثابت فرض شوند لذا نسبت تخلخل  $0/8$ ، نسبت طول  $0/8$  و تعداد بلوک ۴ درنظر گرفته می‌شوند. آنچه از تغییرات عدد رایلی از  $10^4$  تا  $10^7$  به دست آمده است که عدد ناسلت بالافزایش عدد رایلی افزایش چشم‌گیری داشته است. افزایش عدد رایلی، افزایش شدید عدد ناسلت را به همراه دارد. عدد ناسلت برای عدد رایلی  $10^4$  و  $10^7$  به ترتیب اعداد  $8/9012$  و  $1/6613$  به دست آمده است که حاکی از افزایش آزادی حرکت سیال با زیاد شدن عدد رایلی در محفظه می‌باشد. طبق شکل (۵) در عدد رایلی  $10^4$  به علت حرکت آرام سیال میان دو دیوار گرم و سرد، انتقال حرارت هدایت خود را در محفظه نشان داده است و شب خطوط دماتابت نمایان می‌شود. حال آنکه در رایلی  $10^7$  این گونه نیست و خطوط دماتابت در میانه محفظه افقی‌اند و نشان از زیاد بودن انتقال حرارت جابه‌جایی آزاد در آن، نسبت به رایلی  $10^4$  دارند. فشردگی خطوط در نزدیکی دیواره گرم در رایلی  $10^7$  نیز گویای این موضوع است.

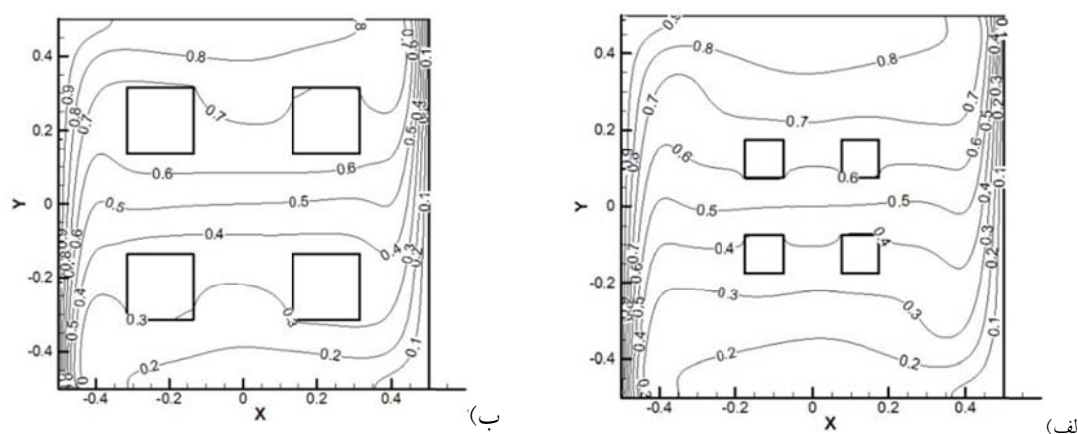
بررسی تغییرات تعداد موانع. با توجه به اعداد بدست آمده از حل عددی، عدد ناسلت طی تغییرات تعداد موانع، در اعداد رایلی پایین اثر بیشتری در مقایسه با اعداد رایلی بالاتر دارد. به طور مثال در نسبت تخلخل  $0/75$ ، نسبت طول  $0/7$  و در عدد رایلی  $10^4$  به ازای چهار مانع، عدد ناسلت  $1/7323$  است در حالی که به ازای ۹ مانع با کاهش  $8/27$  درصدی برابر  $1/5890$  شده است. باید توجه شود که این درصد تحت همین شرایط ولی با عدد رایلی  $10^7$ ، حدود  $0/193$  درصد است که قابل ملاحظه نیست. این مقایسه حاکی از اهمیت تغییر تعداد موانع در اعداد رایلی پایین است. چنان‌که قبل نیز ذکر گردید، در اعداد رایلی پایین اثر رسانش حرارتی بیشتر از رایلی‌های بالا خود را نشان



شکل ۶ نمای خطوط دمای بی بعد ثابت محفظه با عدد رایلی  $10^4$ ، نسبت تخلخل  $75/75$ ، (الف) حالت ۴ مانع و (ب) حالت ۹ مانع



شکل ۷ نمای خطوط جریان محفظه با نسبت تخلخل  $75/75$ ، چهار مانع، رایلی  $10^4$ ، نسبت طول  $7/7$ ، (الف) در تعداد مانع ۴ و (ب) در تعداد مانع ۹



شکل ۸ نمای خطوط دمای بی بعد ثابت محفظه با عدد رایلی  $10^7$ ، حالت ۴ مانع و نسبت تخلخل  $84/84$ ، (الف) نسبت طول  $5/5$  و (ب) نسبت طول  $9/9$

و در عدد رایلی  $10^4$  عدد ناسلت از نسبت تخلخل طول در  $0/51$  تا  $0/75$  درصد کاهش می‌یابد و یا با تغییر نسبت طول از  $0/5$  تا  $0/9$  در همین عدد رایلی، عدد ناسلت  $7$  درصد افزایش می‌یابد. قابل ذکر است که عمدهاً با افزایش تعداد مواد، عدد ناسلت کاهش یافته است. بالاترین نرخ انتقال حرارت در محفظه و روی دیوارهای سرد و گرم در نسبت تخلخل  $0/84$ ، نسبت طول  $0/5$ ، عدد رایلی  $10^7$  و تعداد مانع  $9$  ایجاد می‌شود که عدد ناسلت در این حالت  $8/9343$  می‌باشد.

## علائم

$T_h$	دماي دیوار گرم
$x$	مکان درجهت افقی
$x^*$	مؤلفه بی بعد $x$
$y$	مکان درجهت عمودی
$y^*$	مؤلفه بی بعد $y$
$p$	شار
$\rho$	چگالی
$\beta$	ضریب انبساط حجمی
$\theta$	دماي بی بعد
$\alpha$	ضریب نفوذ گرمایی
$A$	اندازه ضلع فضای مربعی دربرگیرنده مواد
$d$	اندازه ضلع مواد مربعی
$g$	شتاپ گرانش
$H$	ضلع محفظه
$n$	تعداد مواد
$Nu$	عدد ناسلت
$u$	سرعت درجهت $x$
$v$	سرعت درجهت $y$
$T$	دما
$T_c$	دماي دیوار سرد

رونده کاهشی عدد ناسلت درازای افزایش نسبت طول در اکثر موارد صادق است مگر در اندک مواردی که خلاف این رفتار در محفظه مشاهده می‌شود. برای مثال در نسبت تخلخل  $0/51$  و عدد رایلی  $10^4$  اروند تغییرات عدد ناسلت فقط کاهشی نیست و از قسمتی به بعد دوباره افزایش می‌یابد. تغییر نسبت طول از  $0/5$  تا  $0/9$ ، افزایش اندازه بلوكهای جامد در محفظه و تغییر فضای میان آنها را به دنبال دارد. این تغییر فضا اثر مستقیم بر جایه‌جایی آزاد در محفظه می‌توان عوامل کاهش نرخ انتقال حرارت در محفظه می‌توان گفت، بلوكهای ضمن افزایش اندازه به دیوارها نزدیکتر می‌شوند که این خود مانع تشکیل فرآگیرتر خطوط جریان است.

## نتیجه‌گیری

جریان سیال و انتقال حرارت جایه‌جایی آزاد در یک محفظه بسته، با وجود مواد مربعی دارای رسانایی گرمایی موردنرسی قرار گرفت. برای حل معادلات، از روش حجم محدود استفاده شد. تغییرات عدد ناسلت میانگین روی دیوارهای سرد و گرم بر حسب تغییر نسبت تخلخل، نسبت طول بلوك متخلخل، تعداد مانع و عدد رایلی بررسی شد. بیشترین تغییرات در عدد ناسلت و متناسب با آن در نرخ انتقال حرارت در محفظه، به عدد رایلی مربوط می‌شد که با زیاد شدن آن انتقال حرارت در محفظه افزایش می‌یافتد چنانکه به طور مثال مشاهده شد در نسبت طول  $0/5$ ، تعداد بلوك  $4$  و نسبت تخلخل  $0/51$  بهازای عدد رایلی  $10^4$  و  $10^5$  عدد ناسلت بهصورت  $1/9238$ ،  $4/4907$  و  $8/8183$  افزایش یافت. درصد تغییرات عدد ناسلت در محفظه، بهازای تغییر نسبت طول، در رایلی‌های بالا چشم‌گیر نیست، اما در عدد رایلی‌های پایین قابل صرف‌نظر کردن نیست؛ به طور مثال در نسبت طول  $0/9$

## مراجع

1. Refai, A.G. and Yovanovich, M.M., "Influence of Discrete Heat Source Location on Natural Convection Heat Transfer in a Vertical Square Enclosure", *J. Electron. Packag.*, Vol. 113, pp.268-274, (1991).
2. Nelson, J.E.B., Balakrishnan, A. R and Murthy, S.S., "Experiments on stratified chilled water tanks", *Int. J. Refrig.*, Vol. 22, pp. 216-234, (1999).
3. De Vahl Davis, G., "Natural convection in a square cavity: A bench mark numerical solution", *Int. J. Numer. Methods Fluids*, Vol. 3, pp. 249–264, (1983).
4. Walker, K.L. and Homsy, G.M., "Convection in porous cavity", *J. Fluid Mech.*, Vol. 87, pp. 449–474, (1978).
5. Bejan, A., "On the boundary layer regime in a vertical enclosure filled with a porous medium", *Lett. Heat Mass Transfer*, Vol. 6, pp. 93–102, (1979).
6. Prasad, V. and Kulacki, F.A., "Convective heat transfer in a rectangular porous cavity-effect of aspect ratio on flow structure and heat transfer", *J. Heat Transfer*, Vol. 106, pp. 158–165, (1984).
7. Beckermann, C., Viskanta, R. and Ramadhyani, S., "A numerical study of non-Darcian natural convection in a vertical enclosure filled with a porous medium, Numer", *Heat Transfer*, Vol. 10, pp. 557–570, (1986).
8. Baytas, A.C., "Entropy generation for natural convection in an inclined porous cavity", *Int. J. Heat Mass Transfer*, Vol. 43, pp. 2089-2099, (2000).
9. Moya, S.L., Ramos, E. and Sen, M., "Numerical study of natural convection in a tilted rectangular porous material", *Int. J. Heat Mass Transfer*, Vol. 30, pp.741–756, (1987).
10. Baytas, A.C., Pop, I., "Free convection in oblique enclosures filled with a porous medium", *Int. J. Heat Mass Transfer*, Vol. 42, pp. 1047–1057, (1999).
11. House, J.M., Beckermann, C. and Smith, T.F., "Effect of acentered conducting body on natural heat transfer in a enclosure, Numer", *Heat Transfer A*, Vol. 18, pp. 213–225, (1990).
12. Merrikh, A.A., Mohamad, A.A., "Blockage effects in natural convection in differentially heated enclosures", *J. Enhanced Heat Transfer*, Vol. 8, pp. 55–72, (2001).
13. Raji, A., Hasnaoui, M., Naïmi, M., Slimani, K. and Ouazzani, M.T., "Experimental and numerical study of heat and moisture transfers by natural convection in a cavity filled with solid obstacles", *Comput. Fluids*, Vol. 68, pp. 1–15, (2012).
14. Sheikhzadeha, G.A., Heydaria, R., Hajialigola, N. and Fattahia, A., "Heat and mass transfer by natural convection around a hot body in a rectangular cavity", *Mechanical Engineering*, Vol. 20, pp. 1474-1484, (2013).
15. Dixit, H.N. and Babu, V., "Simulation of high Rayleigh number natural convection in a square cavity using the lattice Boltzmann method", *Int. J. Heat Mass Transfer*, Vol. 49, pp. 727–739, (2006).